

УТВОРЕННЯ  $\chi_c$  В РА-ЗІТКНЕННЯХ У HERA-B-ЕКСПЕРИМЕНТІ

Ю. В. Пилипченко

Університет м. Осло, Норвегія

Повідомляється про вимірювання частки  $J/\Psi$  утворених унаслідок  $\chi_c$ -розпадів  $R_{\chi_c}$  при взаємодії протонів (920 ГeВ) з ядрами вуглецевої мішенні. Експериментальні дані, на яких ґрунтуються аналіз, були відібрані HERA-B-детектором протягом 2002 р. з використанням двохмюонного тригера. Попереднє значення становить  $R_{\chi_c} = 0,21 \pm 0,06_{\text{стат.}} \pm 0,03_{\text{систем.}}$  для подій в інтервалі змінної Фейнмана  $-0,35 \leq x_F \leq 0,15$ .

Механізм народження станів кварконію при взаємодії адронів ще недостатньо з'ясований. Існує ряд теоретичних моделей для опису утворення  $q\bar{q}$  пар та їх послідовної еволюції до кінцевих адронних станів [2 - 4]. Чармоній ( $c\bar{c}$ ) є зручною системою для вивчення особливостей формування станів кварконію, оскільки с-кварки достатньо масивні, що дає змогу робити розрахунки в межах теорії збурень, і разом з тим перерізи утворення станів чармонію достатньо великі, що робить доступними вимірювання з хорошою статистичною точністю. До того ж утворення чармонію в зіткненнях важких іонів може служити як індикатор кварк-глюонної плазми, бо формування зв'язаних станів чармонію в такій плазмі, як очікується, завдяки екрануванню кольору сильно подавлене порівняно з формуванням відкритого чарму [5]. Експериментальне вивчення залежності відношення перерізів утворення  $\chi_c^*$  і  $J/\Psi$  станів ( $R_{\chi_c}$ ) від енергії взаємодії може допомогти у виборі на користь тієї чи іншої теоретичної моделі.

$$R_{\chi_c} = \frac{\sigma(\chi_c) \cdot Br(\chi_c \rightarrow J/\Psi\gamma)}{\sigma(J/\Psi)},$$

тут  $\sigma(\chi_c)$ ,  $\sigma(J/\Psi)$  є повними перерізами утворення  $\chi_c$  і  $J/\Psi$ ,  $Br(\chi_c \rightarrow J/\Psi\gamma)$  представляє частку розпадів  $\chi_c$  станів з випромінюванням  $\gamma$ -квантів і переходом у  $J/\Psi$ . Специфіка вивчення розпаду  $\chi_c$  мезонів на  $J/\Psi$  і  $\gamma$ -кванти має певну перевагу завдяки двохлептонному розпаду  $J/\Psi$ , що може використовуватись як умова для відбору подій для тригера.

У представлений роботі обговорюються результати вимірювання  $R_{\chi_c}$  при взаємодії протонів (920 ГeВ) з ядрами з використанням набору даних, відібраних в експерименті HERA-B [7] при DESY в 2002 р.  $\chi_c$  спостерігалось при розпаді  $\chi_c \rightarrow J/\Psi\gamma \rightarrow ll\gamma$  ( $l = e, \mu$ ) з використанням розподілу величини  $\Delta M = M(l^+l^-\gamma) - M(l^+l^-)$ , яка рівна різниці між інваріантними масами системи  $l^+l^-\gamma$  і лептонної пари  $l^+l^-$ . Перевагою такого розгляду є суттєве зменшення впливу невизначеності маси  $J/\Psi$  на точність вимірювань. Надлишок подій над величиною комбінаторного фону визначає число  $\chi_c$  частинок, з яких значення  $R_{\chi_c}$  оцінюється за формулою

\* Надалі  $\chi_c$  вказує суму двох станів  $\chi_{c1}$  і  $\chi_{c2}$ ; через малий квантovий вихід у  $\chi_{c0}$  [6] вкладом його розпаду можна знектувати.

$$R_{\chi_c} = \frac{N(\chi_c)}{N(J/\Psi) \cdot \varepsilon(\gamma)} \cdot \rho, \quad \rho = \frac{\varepsilon(J/\Psi_{all})}{\varepsilon(J/\Psi_{\chi_c \rightarrow J/\Psi})} \approx 1, \quad (1)$$

де  $N(\chi_c)$  - число реконструйованих  $\chi_c \rightarrow J/\Psi\gamma$  подій, а  $N(J/\Psi)$  - повне число реконструйованих розпадів  $J/\Psi \rightarrow l^+l^-$ , використаних для пошуку  $\chi_c$ . Множник  $\varepsilon(\gamma)$  - ефективність реєстрації  $\gamma$ -квантів - визначався шляхом моделювання процесу за методом Монте-Карло (МК). Величина  $\rho$  є відношенням ефективності реєстрації  $J/\Psi$  з розпадів  $\chi_c \rightarrow J/\Psi\gamma$  до ефективності реєстрації всіх  $J/\Psi$ -часток. Оскільки кінематика, тригерування та реконструкція прямих  $J/\Psi$  і  $J/\Psi$  з розпадів  $\chi_c \rightarrow J/\Psi\gamma$  дуже подібні, величина  $\rho$  близька до 1.

### Аналіз даних та результати

HERA-В-детектор – це магнітний спектрометр, визначальними рисами якого є відтворення треків, трекових вершин та ідентифікація частинок у поєднанні з тригером, призначеним для відбору  $J/\Psi$ -розпадів. В експерименті чармоній народжувався в непружніх зіткненнях зініційованих введенням дротяної мішенні в гало пучка протонів, циркулюючого в накопичувальному кільці HERA. Енергія взаємодії в системі центра мас  $pN$  ( $N = p, n$ ) становила  $\sqrt{s} = 41,6$  ГеВ. Блок мішенні містив вісім дротинок, кожна з яких могла незалежно вводитись у гало пучка протонів. Для вирівнювання частоти взаємодії протонів з кожною дротинкою, при одночасному використанні декількох з них, використовувалася спеціальна система керування мішеннями [8]. Набір компонент детектора, що використовувався в даному аналізі, включає: кремнієвий вершинний детектор (VDS), дипольний магніт з інтегралом магнітного поля 2,2 Тм, головну систему відстеження треків (Main Tracker), електромагнітний калориметр, зібраний з модулів типу “шашлик” (ECAL), і мюонну систему (MUON), яка реєструє мюони з імпульсами вище 5 ГеВ/с. Калориметр ділиться на три радіальні частини із спадаючою гранулярністю: внутрішню, середню і зовнішню [9]. Детальний опис апаратури можна знайти в [7].

Моделювання народження  $J/\Psi$ - і  $\chi_c$ -частинок за допомогою методу МК виконувалася за програмою PYTHIA [10], яка належним чином враховує ефекти глибоко непружного розсіювання при утворенні важких кварків. Відповідні диференціальні розподіли відповідають хромосиглетному (CSM) механізму утворення зв’язаних  $s\bar{s}$  станів. На другому кроці МК-розрахунків енергія, що залишилась після утворення чармонію, використовувалася для моделювання залишкової взаємодії протона та ядра за програмою FRITIOF [11]. Після моделювання проходження частинок через матеріал детектора за допомогою пакета програм GEANT [12] і реалістичного оцифрування змодельована подія опрацьовувалася за допомогою того ж тригера й програм, що використовувалися при наборі експериментальних даних [13]. Кінематичні розподіли  $J/\Psi$  нормувалися до даних з експерименту E789 [14].

Даний аналіз ґрунтується на даних, набраних при використанні вуглецевої мішенні в конфігурації з однією дротинкою. Частота взаємодії протонів з ядрами була приблизно 5 МГц.  $J/\Psi$ -тригер працював на відборі  $l^+l^-$ -пар ( $l = e, \mu$ ), включаючи декілька рівнів відбору. У даному аналізі використовується лише  $J/\Psi \rightarrow \mu^+\mu^-$ -канал відбору. Для мюонного кандидата тригер вимагав появу сигналу в мюонній системі у збігу із сигналами в трекері й VDS, які утворюють трек частинки з імпульсом більшим за 5 ГеВ/с і з поперечним імпульсом між 0,7 і 2,5 ГеВ/с. При цьому треки двох мюонів повинні були виходити зі спільнної вершини. Кінематичний діапазон для  $J/\Psi$ -частинок у величинах змінної Фейнмана  $x_F$  обмежувався  $-0,35 \leq x_F \leq 0,15$ .

Розпади  $J/\Psi \rightarrow \mu^+ \mu^-$  реконструювались на основі інформації тригера. Крім того, щоб зменшити комбінаторику, до сигналу MUON ставилась вимога, щоб відношення очікуваних і виявлених хітів було вищим за 0,7. Інваріантна маса розраховувалася для всіх пар лептонів із протилежними знаками. Кінцевий масовий розподіл показано на рис. 1.

Сигнал, який спостерігається для випадків розпаду  $J/\Psi \rightarrow \mu^+ \mu^-$  ( $J/\Psi$ -сигнал), описується гауссіаном. Фон під сигналом походить, головним чином, з помилково ідентифікованих гадронів та конверсій фотонів. Форма фону описується експоненціальним розподілом. Одержані за допомогою фіту число реконструйованих  $J/\Psi$ -мезонів ( $N_{J/\Psi}$ ), положення сигналу ( $\langle M \rangle$ ) та його ширина ( $\sigma_{M(J/\Psi)}$ ) складають відповідно  $N_{J/\Psi} = 20510 \pm 164$ ,  $\langle M \rangle = 3092,5 \pm 0,2$  MeB/c<sup>2</sup> та  $\sigma_{M(J/\Psi)} = 42,5 \pm 0,4$  MeB/c<sup>2</sup>. Лише  $J/\Psi$ -кандидати в інтервалі мас поблизу маси  $J/\Psi$ , для яких виконувалася умова  $|M(J/\Psi) - \langle M \rangle| < 100$  MeB/c<sup>2</sup>, бралися для  $\chi_c$ -аналізу. Число, що відповідає кількості  $J/\Psi$ -мезонів із врахуванням допустимого інтервалу мас, становить  $N_{J/\Psi}^{m.w.} = 20120 \pm 161$ .

У кожному випадку, коли знаходився  $J/\Psi$ -кандидат у вираному інтервалі мас, виконувався пошук фотона в електромагнітному калориметрі. Кожний кластер в ECAL з поперечною енергією  $E_T > 0,1$  ГeВ розглядався як фотонний кандидат. Найближча до протонного пучка частина чутливого об'єму ECAL ( $x^2/4 + y^2 < 484$  см<sup>2</sup>,  $x$  та  $y$  – координати кластера) виключалась із розгляду через занадто великі завантаження. Для зменшення фону від гадронів приймалася вимога, щоб відношення енергії в трьох комірках із найбільшим енерговиділенням до повної енергії кластера було більшим за 0,8. З метою зменшення фону від вторинних частинок з малим імпульсом, а також від кластерів, спричинених шумами в електроніці було застосоване обмеження по енергії  $E > 3$  ГeВ. Відсікання кластерів, спричинених зарядженими частинками, здійснювалось за допомогою розпізнавання реконструйованих треків, пов'язаних із кластерами. Якщо кластер зв'язаний із реконструйованим треком, що мав початок до (по відношенню до мішені) чи всередині магніту, кластер виключався з розгляду. Навпаки, кластер, зв'язаний із коротким треком, що мав початок позаду магніту (по відношенню до мішені), використовувався в аналізі. Це робилося, щоб не допустити втрат в  $\chi_c$ -сигналі, зумовлених конверсією фотонів\*. Імовірність конвертування фотонів у матеріалі детектора позаду магніту, визначена за допомогою МК-моделювання, становила приблизно 42 %. Для зменшення фону від  $\pi^0 \rightarrow \gamma\gamma$  кластери, інваріантна маса яких виявлялась дуже близькою до маси  $\pi^0$ -мезона, також виключалися з розгляду [15].

Для кожної комбінації  $J/\Psi$ -частинки і  $\gamma$ -кандидата в межах події визначалася різниця мас  $\Delta M$ . Усі описані критерії відбору підбиралися відповідно до якості опису фону шляхом

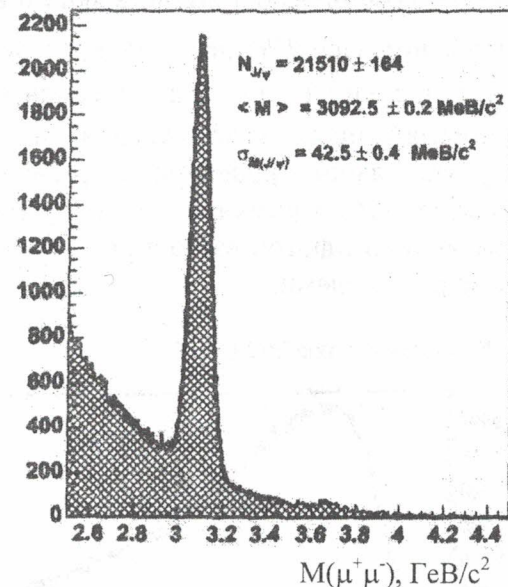
Кількість відліків/10 MeB/c<sup>2</sup>

Рис. 1.  $J/\Psi$ -мезон, реконструйований у розпаді  $J/\Psi \rightarrow \mu^+ \mu^-$ .

з утворені в результаті конверсії  $e^+ e^-$  рухаються вздовж напрямку траєкторії фотона і, у більшості випадків, вносять вклад в один і той же кластер.

\* Утворені в результаті конверсії  $e^+ e^-$  рухаються вздовж напрямку траєкторії фотона і, у більшості випадків, вносять вклад в один і той же кластер.

змішування подій, а також максимізуючи величину  $\frac{N_{\chi_c}}{\sqrt{N_{back}}}$ , де  $N_{\chi_c}$  – число  $\chi_c$ -кандидатів у МК-моделюванні, тоді як  $N_{back}$  – число всіх випадків, узятих з вимірюваного  $\Delta M$ -розподілу поза межами очікуваного сигналу.

$\Delta M$ -розподіл складається переважно з випадкових комбінацій  $J/\Psi$  і фотонних кандидатів. Кореляції мають місце лише при розпадах  $\chi_c \rightarrow \gamma J/\Psi$ . Інші можливі джерела кореляцій – це розпад важких мезонів на  $J/\Psi X$ , де  $X$  або продукт розпаду  $X$  може бути ідентифіковано як фотон. Такий вклад може походити з розпадів  $\Psi' \rightarrow J/\Psi \pi^0 \pi^0, \pi^0 \rightarrow \gamma \gamma$  і  $\Psi' \rightarrow J/\Psi \pi^+ \pi^-$ , де піони можна ідентифікувати як фотони\*. Але частка фотонів з таких розпадів, що задовільняють умови селекції, мала. Вклад від розпадів В-мезонів малий через відносно малі перерізи їх утворення і їх цим вкладом теж можна нехтувати.

Форма переважно комбінаторного фону одержувалась шляхом комбінування  $J/\Psi$ -кандидатів і фотонних кандидатів з різних подій із застосуванням стандартних критеріїв відбору та врахуванням застережень, описаних в [17]. “Змішані події” відтворюють форму  $\Delta M$ -розподілу скрізь, за винятком області  $\chi_c$ -сигналу. Метод описання фону було перевірено шляхом комбінування подій, в яких інваріантна маса  $\mu^+ \mu^-$ -пар знаходилася поза  $5\sigma_{M(J/\Psi)}$ -інтервалом маси  $J/\Psi$  (де сигнал  $\chi_c$  не передбачається). У цьому випадку  $\Delta M$ -розподіл для пар  $\mu^+ \mu^-$  і  $\gamma$  з однієї й тієї ж події включає лише фонові комбінації. Таким чином,  $\Delta M$ -розподіл, одержаний шляхом змішування подій, має бути ідентичним до основного розподілу. Результат даної процедури зображенено на рис. 2, де точки з похибками представляють розподіл  $\Delta M$ , отриманий з даних, у той час як суцільна гістограма показує  $\Delta M$ -розподіл, де пара мюонів і фотон взято з різних подій. У нижній частині рисунка показано різницю між двома розподілами.

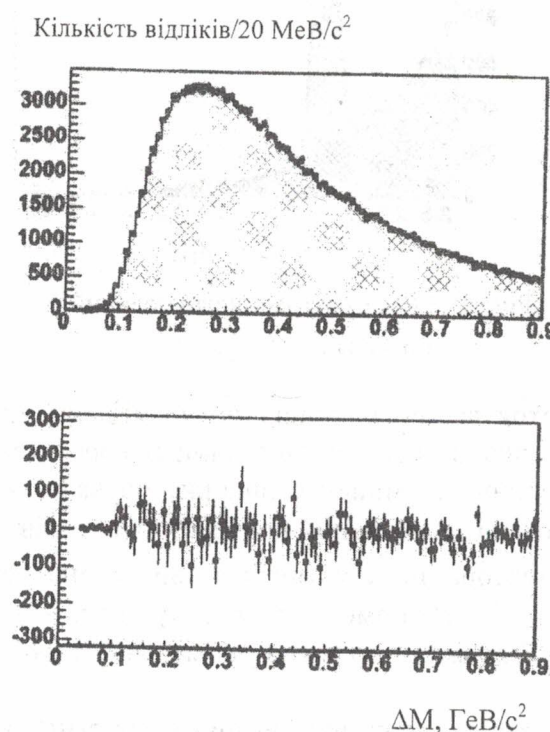


Рис. 2. Перевірка методу описання фону.

даних,  $42 \pm 9$  MeV/c<sup>2</sup> у межах похибки узгоджується зі значенням, яке дає розрахунок за

$\Delta M$ -розподіл для всіх комбінацій  $J/\Psi$  і фотонних кандидатів для мішені з вуглецю показано на рис. 3,б (точки з похибками на верхньому графіку), у той час як на рис. 3,а наведено відповідний розподіл для МК-розврахунків. В обох випадках суцільна гістограма показує комбінаторний фон, оцінений шляхом змішування подій. Розподіл представляє сигнал, який відповідає сумі двох станів чармонію  $\chi_{c1}$  і  $\chi_{c2}$ . За МК-розврахунками очікується роздільна здатність по масі для  $\chi_c$ -сигналу близько 37 MeV/c<sup>2</sup>, що недостатньо для розділення станів  $\chi_{c1}$  і  $\chi_{c2}$ . Тому для опису сигналу використовувався один гауссіан. Для опису фону використовувалась форма змішаного  $\Delta M$ -розподілу. При підгонці положення ( $\langle \Delta M \rangle$ ), ширина ( $\sigma_{\chi_c}$ ) і нормування гауссіана ( $N_{\chi_c}$ ), а також нормування фону ( $\Phi$ ) залишались вільними параметрами. Відповідно до фіту зареєстроване число  $\chi_c$  становить  $N_{\chi_c} = 1255 \pm 337$ .

Ширина гауссіана, одержана його підгонкою до

\* Частка  $J/\Psi$ , що походить з розпаду  $\Psi'$ , становить приблизно 8 % [16].

методом МК. Положення гауссіана для даних ( $430 \pm 6$  MeV/c $^2$ ) є дещо зміщеним у бік менших значень  $\Delta M$ , ніж оцінене за МК-моделювання ( $438$  MeV/c $^2$ ). Це може бути пов'язане з неточністю параметризації відношення  $\sigma(\chi_{c2})/\sigma(\chi_{c1})$  при моделюванні. Проте ця різниця є в межах одного стандартного відхилення.  $\chi^2$  на ступінь вільності для фіту  $\Delta M$  становив 106,5/85. Розподіли після віднімання фону показано в нижній частині рис. 3.

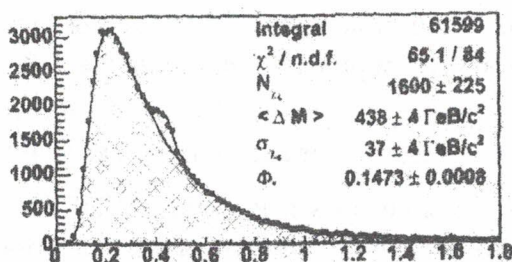
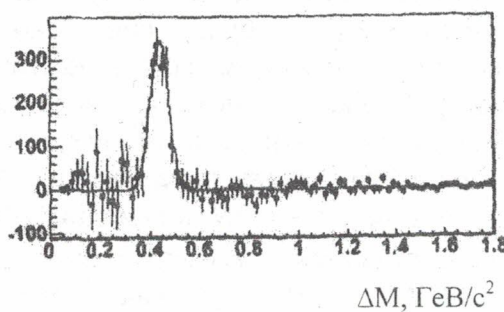
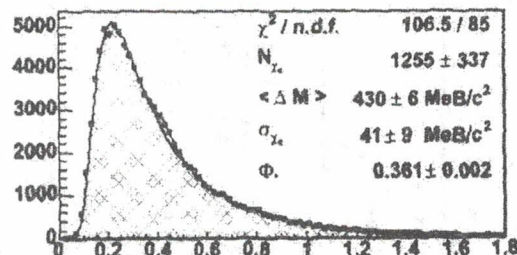
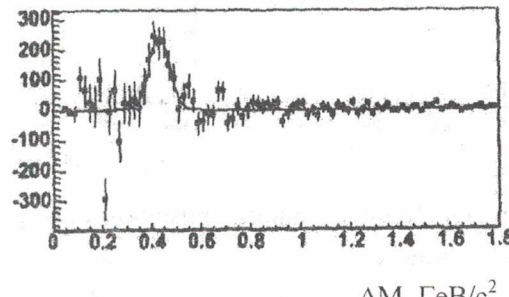
Кількість відліків/20 MeV/c $^2$ Кількість відліків/20 MeV/c $^2$ *a**b*

Рис. 3. Розподіл  $\Delta M = M(\gamma J/\Psi) - M(J/\Psi)$  для С:  
*a* – відповідає МК-моделюванню; *b* – представляє дані.

Ефективність реєстрації фотонів становила  $\varepsilon(\gamma) = 0,31 \pm 0,04$ . Значення визначалось шляхом МК-моделювання. При цьому також показано, що ефективності тригера й реконструювання для  $J/\Psi$  дійсно подібні у випадку прямого утворення та при народженні  $J/\Psi$  з розпаду  $\chi_c$ . Нами отримано  $\rho = 1,05 \pm 0,01$ .

Частка  $J/\Psi$ , утворених унаслідок  $\chi_c$ -розпадів, визначалась відповідно до формули (1). Для даного набору подій значення  $R_{\chi_c}$  дорівнює  $R_{\chi_c} = 0,21 \pm 0,06$ . Вказана похибка є статистичною і не враховує систематичних невизначеностей.

Для визначення систематичної похибки відношення  $R_{\chi_c}$  вивчалось як функція обмежень на вірогідність сигналу в MUON, величини інтервалу мас поблизу  $J/\Psi$  та  $\pi^0$ , енергії та поперечного імпульсу кластера, реконструйованого в ECAL, виключення з розгляду найближчої до протонного пучка частини ECAL від числа комірок, що утворюють кластер, та від форми кластера. Варіація обмеження на енергію фотонів  $E$  відповідає зміні  $R_{\chi_c}$  на рівні 16 %, що й було враховано як вклад у систематичну невизначеність. Вкладом у похибку варіації інших обмежень можна знехтувати. Систематичну неточність вибору форми фону оцінено як 4 %.

Поляризація  $\chi_c$  впливає на ефективність реконструкції  $\chi_c$ , однак, як і в попередніх експериментальних роботах, припускаємо відсутність поляризації і нехтуємо похибкою, пов'язаною з цим. При оцінці систематичної похибки було також знехтувано невизначеностями, пов'язаними з вибором моделі для опису утворення чармонію при МК-моделюванні

та калібруванням калориметра. Припускаючи, що індивідуальні систематичні похибки є некорельованими, можна оцінити повну систематичну неточність  $R_{\chi_c}$  рівною 16 %.

Таким чином, кінцеве значення  $R_{\chi_c}$  для вуглецевої мішенні становить

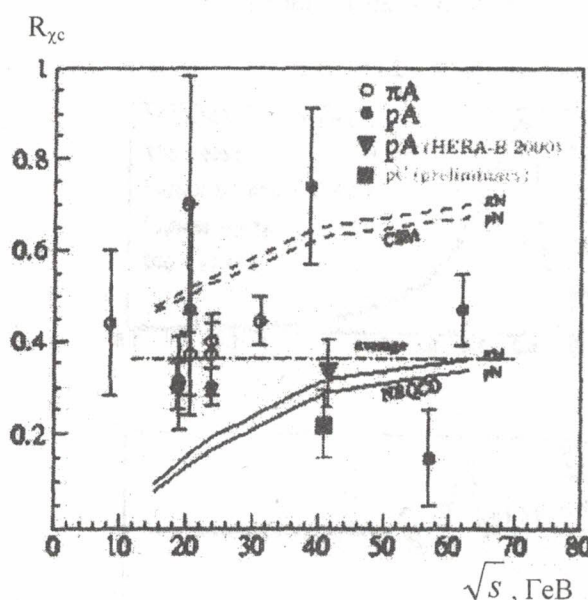


Рис. 4. Порівняння нашого вимірювання  $R_{\chi_c}$  (суцільний квадрат) із даними з інших експериментів, отриманих у  $pp$ -,  $pA$ - [16] (суцільні кружечки) і  $\pi A$ - [18] (пусті кружечки) взаємодіях, включаючи HERA-B-результат, отриманий у 2000 р. [1] (суцільний трикутник).

Передбачення в рамках NRQCD одержаного в даному аналізі, що може вказувати на правильність опису народження  $\chi_c$  і  $J/\Psi$  у цьому наближенні. Проте, при наявних невизначеностях, передбачена в СЕМ відсутність енергетичної залежності відношення не може бути відхиленою. З іншого боку, CSM передбачає значно більшу величину  $R_{\chi_c}$ .

де першою вказано статистичну похибку, другою – систематичну. Порівняння даного результату вимірювань відношення  $R_{\chi_c}$  з даними попередніх робіт [1, 16, 18] показано на рис. 4, де  $R_{\chi_c}$  представлено як функцію енергії взаємодії ( $\sqrt{s}$ ). Результат CDF [19] не наведено, оскільки кінематичний діапазон у цій роботі дуже відрізняється від інших експериментів. Значення, яке цитується для експерименту E771, було обчислено за опублікованими перерізом [16] і квантовим виходом [6]. Указані похибки включають статистичні і систематичні невизначеності. На рис. 4 показано також передбачення МК-розрахунків для  $pN$ - і  $\pi N$ -взаємодій [20] на основі нерелятивістської квантової хромодинаміки (NRQCD) [2] (суцільна крива) і хромосинглетної моделі (CSM) [4] (пунктир). Дуальна модель (СЕМ) [3] передбачає постійне значення  $R_{\chi_c}$ . Штрих-пунктирна лінія є усередненням усіх експериментальних даних.

близьке до експериментального значення, але недалеко від нього. Це підтверджує правильність опису народження  $\chi_c$  і  $J/\Psi$  у цьому наближенні. Проте, при наявних невизначеностях, передбачена в СЕМ відсутність енергетичної залежності відношення не може бути відхиленою. З іншого боку, CSM передбачає значно більшу величину  $R_{\chi_c}$ .

## Висновки

Вимірювання частки  $J/\Psi$ -мезонів, народжених унаслідок радіаційних розпадів  $\chi_c$ , дозволяє кількісну перевірку правильності різних теоретичних передбачень для утворення чармонію. У даній роботі представлено попередній результат для відношення  $R_{\chi_c}$ . Вимірювання ґрунтуються на даних, набраних на спектрометрі HERA-B у 2002 р. при взаємодії протонів (920 ГeВ) з ядрами вуглецю. У кінематичному інтервалі  $-0,35 \leq x_F \leq 0,15$  частку  $J/\Psi$ , які походять з радіаційних розпадів  $\chi_c$ , визначено як  $R_{\chi_c} = 0,21 \pm 0,06_{\text{стат.}} \pm 0,03_{\text{систем.}}$  У межах одного стандартного відхилення даний результат узгоджується з вимірюванням  $R_{\chi_c}$ , зробленим на HERA-B раніше [1], і є на користь передбачень NRQCD, але має значно меншу величину, ніж передбачення хромосинглетної моделі (CSM).

Автор глибоко вдячний В. М. Пугачу та Ф. Оулд-Сааду за сприяння в підготовці цієї статті. Також надзвичайно корисними й стимулюючими були численні дискусії на семінарах групи дослідження чармонію при HERA-B-експерименті.

## СПИСОК ЛІТЕРАТУРИ

1. Abt I., Abyzov A., Adams M. et al. HERA-B Collaboration, // Phys. Lett. - 2003. - Vol. B561. - P. 61 - 72.
2. Brodwin G.T., Braaten E., Lepage G.P. // Phys. Rev. - 1995. - Vol. D51. - P. 1125 - 1171; Cho P., Leibovich A. // Phys. Rev. - 1996. - Vol. D53 - P. 6203 - 6217.
3. Schneider G. // Z. Phys. - 1996. - Vol. C 71. - P. 317 - 327.
4. Baier R., Ruckl R. // Phys. Lett. - 1981. - Vol. B102. - P. 364; Z. Phys. - 1983. - Vol. C19. - P. 251.
5. T. Matsui, H. Satz // Phys. Lett. - 1986. - Vol. B178. - P. 416.
6. Hagiwara K., Hikasa K., Nakamura K. et al. // Review of Particle Physics, Phys. Rev. - 2002. - Vol. D66. - P. 010001.
7. Hartouni E., Kreisler M., van Apeldoorn G. et al. // HERA-B Design Report. - 1995. - DESY-PRC-95-01.
8. Vassiliev Yu., Aushev V., Ehret K. et al. // AIP Conference Proceedings. - 2000. - Vol 512(1). - P.359-361.
9. Avoni G., Baldanza C., Bargiotti M. et al. // Nucl. Instr. Meth. - 2001. - Vol. A461. - P. 332 - 336.
10. Sjostrand T. // Comp. Phys. Comm. - 1994. - Vol. 82. - P. 74.
11. Ivarsson J., Kreuzer P., Lohse T. // HERA-B-99-067.
12. Nowak S. // HERA-B-94-123.
13. Hernández J.M., Rybníkov V., Sánchez F. // Nucl. Instr. Meth. - 2003. - Vol. A502. - P.471 - 474.
14. Schub M.H., Jansen D.M., Mishra C.S. et al. // Phys. Rev. - 1995. - Vol. D52. - P. 1307 - 1315.
15. Pylypchenko Y. // Talk at HERA-B Charmonium Group meeting, February 24-th, 2004 .
16. Clark A.G., Darriulat P., Eggert K. et al. ISR collab. // Nucl. Phys. - 1987. - Vol. B142. - P. 29 - 52; Bauer D.A., Graff T. L., Lukens P. T. et al. E610 collab. // Phys. Rev. Lett. - 1985. - Vol. - P. 753 - 756; Antoniazzi L., Arenton M., Cao Z. et al. E705 collab. // Phys. Rev. Lett. - 1993. - Vol. 70. - P. 383 - 386; Alexopoulos T., Antoniazzi L., Arenton M. et al. E771 collab. // Phys. Rev. - 2000. - Vol. D62. - P. 032006.
17. Lanyov A. // HERA-B-04-013.
18. Binon F., Donskov S. V., Duteil P. et al. IHEP140 collab. // Nucl. Phys. - 1984. - Vol. B239. - P. 311 - 324; Lemoigne Y., Barate R., Bareyre P. et al. WA11 collab. // Phys. Lett. - 1982. - Vol. B113. - P. 509 - 512; Bauer D.A., Graff T. L., Lukens P. T. et al. E610 collab. // Phys. Rev. Lett. - 1985. - Vol. 54. - P. 753 - 756; Kirk T.B.W., Raja R., Goodman M. et al. E673 collab. // Phys. Rev. Lett. - 1979. - Vol. 42. - P. 619 - 622; Hahn S.R., Alverson G. O., Budd H. S. et al. E369 collab. // Phys Rev. - 1984. - Vol. D30. - P. 671 - 673; Koreshev V., Jesik R., Mendez H. et al. E672/E706 collab. // Phys. Rev. Lett. - 1996. - Vol. 77. - P. 4294 - 4297.
19. Abe F., Akimoto H., Akopian A. et al. CDF collab. // Phys. Rev. Lett. - 1997. - Vol. 79. - P. 578.
20. Igonkina O. // HERA-B-01-067.

ОБРАЗОВАНИЕ  $\chi_c$  В pA-СТОЛКНОВЕНИЯХ В HERA-B-ЭКСПЕРИМЕНТЕ

Ю. В. Пилипченко

Сообщается об измерении фракции  $J/\Psi$  рожденных в радиоактивных распадах  $\chi_c$  мезонов  $R_{\chi_c}$  в столкновениях протонов (920 ГэВ) с ядрами углерода. Использованные данные были отобраны HERA-B-детектором в 2002 г. с применением двухмюонного триггера. Предварительное значение составляет  $R_{\chi_c} = 0,21 \pm 0,06_{\text{стат.}} \pm 0,03_{\text{сист.}}$  для событий в интервале переменной Фейнмана  $-0,35 \leq x_F(J/\Psi) \leq 0,15$ .

 $\chi_c$  PRODUCTION IN pA COLLISIONS AT HERA-B EXPERIMENT

Yu. V. Pylypchenko

We report on the measurement of fraction of  $J/\Psi$  produced via radiative decays of  $\chi_c$  mesons,  $R_{\chi_c}$ , in collisions of 920 GeV protons with carbon nuclei. Analyzed data were collected by HERA-B detector in 2002 using di-muon trigger. The preliminary value is  $R_{\chi_c} = 0,21 \pm 0,06_{\text{stat.}} \pm 0,03_{\text{syst.}}$ , for the events with  $-0,35 \leq x_F(J/\Psi) \leq 0,15$ .

Надійшла до редакції 18.05.04,  
після доопрацювання – 10.09.04.